

Abordagem fim-a-fim para uso de aprendizado de máquina em IDS – Caso de detecção *stateless* para TCP Scan

Gustavo de Carvalho Bertoli¹, Lourenço A Pereira¹, Filipe Verri¹, Cesar Marcondes¹, Aldri L Santos², Osamu Saotome¹

¹Instituto Tecnológico de Aeronáutica – ITA

²Universidade Federal do Paraná – UFPR

gustavo.bertoli@ga.ita.br, aldri@inf.ufpr.br,

{ljr,verri,cmarcondes,osaotome}@ita.br

Abstract. *The recent evolution of networks has driven to an increase in cyber attacks. Considering the chain of an attack, it starts from the reconnaissance phase, in which hosts are probed for active services through scans with the TCP transport protocol being still the most used. This work proposes an approach to identify the attacks in their initial phase, and thus stop or compromise their accomplishment. This approach uses isolated inspection of packages (stateless) considering a set of deterministic rules obtained by machine learning. It works as an intrusion detection system (IDS) that achieved an f1-score performance of 0.96 for detection of TCP scan when treated as a problem of data analysis alone, and 82% accuracy when assessed in an end-to-end approach.*

Resumo. *A evolução recente das redes têm impulsionado um aumento da superfície de ataques cibernéticos. O início de um ataque é pela fase de reconhecimento, em que se buscam nos hosts os serviços ativos através de varreduras (scan) sendo o protocolo de transporte TCP ainda o mais utilizado. Este trabalho propõe uma abordagem para identificar os ataques na sua fase inicial, e assim anular ou comprometer sua consumação. Esta abordagem baseia-se na inspeção isolada de pacotes (stateless) em função de um conjunto de regras determinísticas obtidas por aprendizado de máquina. Ela opera como um sistemas de detecção de intrusão (IDS) que alcançou um desempenho f1-score de 0,96 para detecção do TCP scan quando tratado isoladamente como um problema de análise de dados, e 82% de acurácia quando avaliado na abordagem fim-a-fim.*

1. Introdução

A evolução recente das redes pode ser ilustrada pelo conceito de Internet das Coisas (IoT - *Internet of Things*) que compreende diversas tecnologias, serviços e padrões, resultando, em grande parte, em dispositivos de baixo custo e com recursos limitados, tais como *gateways*, câmeras de vigilância e sensores de temperatura, entre outros [Sicari et al. 2015, Angrishi 2017, Santos et al. 2019]. Devido à grande quantidade disponível desses dispositivos, eles naturalmente são alvos de diversos ataques e, por suas limitações, tornar-se essencial que os dispositivos sejam protegidos por técnicas e mecanismos de defesa eficientes. Na prevenção de ataques cibernéticos, deve-se privilegiar a detecção das atividades de *scan*, pois essa abordagem possibilita o bloqueio dos ataques em sua fase inicial, isto é, durante a fase de reconhecimento do

alvo [Yadav and Rao 2015]. Estudos realizados sobre 7,41 Petabytes de dados de tráfego, coletados de um grande *backbone* de rede entre 2004 a 2011, apontaram que cerca de 2,1% dos pacotes atribuí-se a *scan* [Glatz and Dimitropoulos 2012]. Além disso, 46,8% dos incidentes reportados ao CERT.BR no ano de 2019 também foram classificados como *scan*¹. Isso revela a dimensão que esses ataques representam na Internet, cujo tráfego anual tem dobrado a cada dois anos desde 2005, podendo chegar a 2,3 Zettabyte ao final de 2020, impulsionado também pela implantação do 5G [Idzikowski et al. 2018, Lee and Lee 2012].

Essa questão tem sido tratada na literatura por diversas abordagens. A primeira categorização é se determinada abordagem é *stateful* ou *stateless*, isto é, se a avaliação dos estados da conexão entre os dispositivos fará ou não parte dos critérios de classificação dos eventos. No caso *stateful* exige-se maior disponibilidade de recursos para manter esses estados e uma posição centralizada na rede. Abordagens clássicas ao problema de *scan*, como o *Threshold Random Walk* [Jung et al. 2004] – que é uma técnica *stateful* –, não abordam os tipos mais recentes de ataques como *slow scan* ou mesmo técnicas que exploram brechas da RFC 793 (TCP)² e que são tratadas por regras *stateless* nos Sistemas de Detecção de Intrusão (IDS)³. Importante destacar que regras de detecção de pacotes de forma *stateless*, assim como as presentes em IDS, são conhecidas para identificar as mais importantes ferramentas de *scan* [Ghiëtte et al. 2016]. Além disso, essas abordagens não refletem arquiteturas ao contexto de IoT, em que, como definido no conceito de Fog Computing [Yi et al. 2015], surgem requisitos para baixa latência, suporte a mobilidade, geo-distribuição e consciência de localização. No caso de dispositivos de controle descentralizado e posicionamento distribuído por diferentes redes, muitas vezes administradas por terceiros (IoT e Fog Computing), evidencia-se que prover segurança é responsabilidade do próprio dispositivo ou dos equipamentos em seu entorno [Torabi et al. 2018].

Atualmente as principais técnicas de detecção de TCP *scan* baseiam-se em aprendizado de máquina e mineração de dados, onde destacam-se: redes neurais, associação de regras, redes bayesianas, *clustering* e árvores de decisão [Buczak and Guven 2016]. Verifica-se que a aplicação de tais técnicas envolve o uso intenso de recursos computacionais: (1) antes de sua operacionalização, para obtenção de dados, modelagem, treinamento e verificação; (2) durante sua efetiva utilização, pois tendem a necessitar de dados (*clustering*) ou resultam em modelos computacionalmente custosos (*deep learning*); e (3) depois de algum tempo, porque uma nova rodada pode ser necessária para adequar os modelos gerados às novas condições do ambiente. Observando-se o fluxo de implantação dessa abordagem, perceber-se a necessidade de um envolvimento constante para a solução do problema da detecção de *scan* e identificar a potencial sobrecarga em dispositivos de recursos limitados. Assim, no contexto de dispositivos de baixa potência computacional ou dependentes de bateria, o processo de identificação, detecção de intrusão e mitigação de seus efeitos deve ocorrer da forma mais eficiente possível (*overhead* mínimo). Para o uso de aprendizado de máquina na área de IDS muito se discute sobre a razão dos modelos desenvolvidos serem pouco vistos em ambientes reais de operação. Isto deve-se a desafios como: alto custo para os erros (um falso-negativo pode causar o comprometimento do sistema); identificação de novos ataques ou variações dos ataques conhecidos;

¹Estatística de incidentes CERT.BR: <https://www.cert.br/stats/incidentes/>

²nmap.org/man/pt_BR/man-port-scanning-techniques.html

³snort.org/downloads#rules

e generalização da solução a outros sistemas e arquiteturas [Viegas et al. 2017].

Este trabalho propõe uma abordagem fim-a-fim para uso de aprendizado de máquina em IDS. Assim, criou-se um conjunto de dados que consiste em diversos ataques de TCP *scan* a fim de generalizar uma regra que seja *stateless* e aplicável às mais conhecidas ferramentas e técnicas de TCP *scan*. Particularmente, nosso trabalho trata duas questões: *Q1: como identificar o processo de TCP scan como uma abordagem stateless?* e *Q2: como derivar uma regra determinística para classificação de atividades de TCP scan?* Para responder tais questões, empregou-se aprendizado de máquina e, com base em resultados anteriores, aplicou-se árvore de decisão para extrair um conjunto de indicadores capazes de classificar pacotes IPv4 em TCP *scan* maliciosos. Os resultados obtidos demonstram a efetividade do método, cujo desempenho *f1-score* foi de 0,96 no *dataset* utilizado e cuja implementação como módulo de *kernel* permitiu a correta detecção de 82% dos ataques considerados para a implementação.

O trabalho está organizado da seguinte forma: Na Seção 2, são discutidos os trabalhos relacionados; na Seção 3, descrevemos o método adotado para execução deste trabalho; na Seção 4, detalhamos a implementação do módulo do kernel do Linux e os resultados obtidos dos experimentos; na Seção 5, apresentamos a conclusão deste estudo.

2. Trabalhos Relacionados

Referente ao uso de aprendizado de máquina na área de IDS, [Viegas et al. 2017] apresentam uma discussão sobre a dificuldade de transpor os trabalhos de pesquisa para ambientes reais, seja por falta de métodos confiáveis de avaliação ou falta de *datasets* representativos. Consideram ao todo três categorias de atributos, aqueles baseados em cabeçalho (*stateless*) e os atributos agregados (*stateful*) por *host* e por serviço. Apresentam também a dificuldade dos modelos de aprendizado de máquina em generalizar para novos ataques, como no caso de *probing* em que sem o uso de seleção de atributos, obtiveram uma acurácia de 65% para ataques novos com um falso-negativo de 71%. Para tratar essas dificuldades fazem uso de otimização para a seleção dos atributos no processo de aprendizado de máquina considerando um *dataset* proposto que apresenta as características de uma rede real. No entanto, para o caso específico de TCP *scan* não exercitam todas as possibilidades de ataques – utilizam apenas a ferramenta Nmap e os ataques TCP SYN, NULL, Connect, FIN, XMAS e ACK – e também não avaliaram o passo seguinte de uma abordagem fim-a-fim que seria a implementação desses modelos.

Visando à agilidade na detecção, a abordagem proposta por [Lobato et al. 2016] concilia as vantagens do processamento de fluxos em tempo real com o processamento de dados mantidos em uma base histórica, o que favorece a detecção de ataques conhecidos e de novos ataques, e relata um melhor desempenho com árvore de decisão em comparação com rede neural e SVM. No entanto, o trabalho também não exercita todas as possibilidades de *scan* – técnicas e ferramentas –, e o uso da acurácia como métrica de desempenho para comparação entre técnicas de aprendizado ao problema de classificação de ataques é um problema pois o conjunto de dados é predominantemente desbalanceado. Faz uso de atributos obtidos através da análise de componente principal (*Principal Component Analysis - PCA*) e as ferramentas usadas tornam difíceis a implementação em dispositivos de baixa capacidade computacional. [Sanz and Lopez 2018] apresentam um método para detecção de Negação de Serviço (DoS - *Denial of Service*) baseado em aprendizagem rela-

cionada a grafos. Apesar dos bons resultados obtidos, é notório o uso da métrica acurácia como critério, mesmo que tenham apresentado significativa redução do número de falsos negativos (importante ao problema de detecção de intrusão). No entanto, a aplicabilidade de tal abordagem no contexto de nosso trabalho comprometeria o desempenho de dispositivos baixa potência, devida ao custo computacional da proposta. [Bezerra et al. 2018], no contexto de sistemas de detecção para dispositivos IoT, propuseram a geração de datasets baseados nas alterações provocadas por malwares em dispositivos de botnets e avaliaram métricas como consumo de memória, CPU e energia elétrica. Porém, o foco de nosso trabalho está em bloquear o ataque na fase de reconhecimento, e reutilizar essa abordagem mostra-se infactível, pois a detecção aconteceria após a execução das atividades de scan.

[Zhao 2016] propõe o desenvolvimento de um modelo de detecção de intrusões de rede, baseado em tecnologias de mineração de dados, que combina três métodos: detecção de uso indevido, detecção de anomalias e identificação manual. O modelo utiliza o algoritmo *C.45 Decision Tree* para construir um classificador capaz de aprender com dados históricos da rede e, assim, reconhecer tentativas de intrusão em novos conjuntos de dados. O modelo foi projetado para a detecção de intrusões em geral. Entretanto, o dataset produzido possui limitações nas técnicas de *Scanning* e de *Denial of Service* empregadas. Além disso, a ineficiência na detecção de alguns ataques como, por exemplo, o *Ack Scanning* (taxa de detecção: 0%), provavelmente, deve-se a análise restrita às conexões TCP efetivamente estabelecidas, as quais não constituem requisito indispensável para todas as modalidades de *TCP scan*. [Moon et al. 2017] usam um modelo baseado em árvore de decisão aplicado a fluxos TCP presentes no tráfego de uma rede, e assim apresentam um sistema de detecção de intrusão capaz de identificar comportamento malicioso em aplicações. No entanto, as técnicas de *scan* não necessariamente geram uma quantidade expressiva de fluxos no tráfego de rede e, normalmente, não provocam alterações na integridade dos sistemas, o que pode impactar a eficácia relativa à detecção de *scan*. [Wuu et al. 2007] relatam a construção de uma solução que adiciona funcionalidades a um sistema de detecção de intrusão para identificar comportamento anômalo e tentativas de intrusão. Esta solução contempla o desenvolvimento de um módulo que aplica técnicas de mineração de dados baseada no algoritmo *Apriori* para extrair padrões de intrusão únicos e/ou sequenciais de uma coleção de pacotes de ataques. Estes padrões (assinaturas) são convertidos em regras de detecção para o *IDS Snort*. Porém, o desempenho do módulo é prejudicado em razão da análise do *payload* e das características do algoritmo *Apriori*, que precisa varrer o banco de dados iterativamente mesmo que os padrões sejam frequentes.

Nossa abordagem é diferente dos demais trabalhos ao considerar (i) a análise individual (*stateless*) de pacotes IP com payload contendo segmentos TCP; (ii) a produção de um dataset de com características diversas de ferramentas de scan (nmap, unicornscan, hping3, zmap, masscan); (iii) a tradução do modelo em implementação de baixo custo computacional capaz de barrar atividades maliciosas de reconhecimento, mitigando o avanço de um atacante na exploração de falhas existentes no sistema alvo. Nossa abordagem fornece um arcabouço de desenvolvimento que abrange de modo fim-a-fim o processo de criação de filtros para sistemas de detecção de intrusão.

3. Geração do modelo de classificação dos pacotes

Esta seção detalha a abordagem proposta para criação de um modelo capaz de classificar os pacotes em duas classes: normal e malicioso. Destacamos a opção do algoritmo

baseado em árvore de decisão devido a sua facilidade de implementação e descrevemos o processo de construção em quatro passos: (i) metodologia para construção do *dataset*; (ii) descrição dos casos de TCP *scan* que serão analisados, e os parâmetros para extração de pacotes rotulados como "normal"; (iii) são discutidas as razões pela escolha do aprendizado com árvore de decisão; e (iv) os critérios para pré-processamento dos dados, apresentação da métrica *f1-score* como critério de desempenho da tarefa de aprendizado e a discussão sobre a obtenção do modelo treinado.

3.1. Construção do conjunto de dados (*dataset*)

A partir de [Ring et al. 2019] foram avaliados os conjunto de dados que apresentavam a granularidade de pacotes e eram rotulados. Em seguida, buscou-se por aqueles *datasets* que possuem ataques de TCP *scan* resultando em cinco *datasets* possíveis⁴, no entanto, nenhum dos *datasets* candidatos apresentavam ataques de TCP *scan* com as diversas ferramentas disponíveis e/ou as diversas técnicas conhecidas, importante salientar que todos os *datasets* considerados foram construídos através da emulação de pequenas redes. Portanto, na caracterização dos pacotes TCP *scan*, optou-se por criar um conjunto de dados específico às diversas técnicas e ferramentas de TCP *scan* conhecidas, inclusive aquelas ferramentas que têm por objetivo fazer a varredura de toda a Internet (Zmap e masscan), conhecido como *horizontal scanning*, em que se busca por serviços específicos em uma diversidade de endereços IP, em contraponto ao *vertical scanning*, que busca mapear todos os serviços disponíveis em alvos específicos.

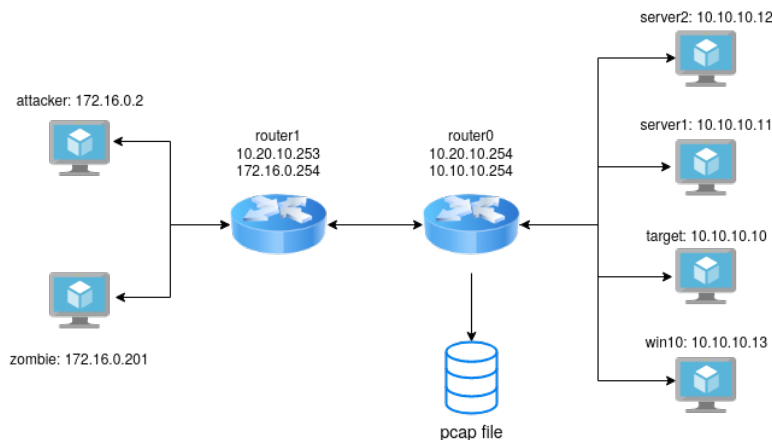


Figura 1. Ambiente para a geração de tráfego malicioso.

O conjunto de dados (*dataset*) deste trabalho é composto por duas classes: *scan* e normal. A classe *scan* contempla pacotes gerados a partir da execução de todas as técnicas e ferramentas que se busca identificar, enquanto o tráfego rotulado com a classe normal deve conter uma amostra representativa do fluxo da rede que se pretende proteger. Desta forma, desenvolvemos um *dataset* próprio, composto por pacotes de tráfego TCP/IP e rotulados de forma automática com duas classes, normal e *scan*. A Figura 1 ilustra o ambiente virtualizado que usamos para a obtenção de tráfego de *scan*, especificamos a seguinte arquitetura: (i) uma rede de ataque, simulando o ambiente externo ao que seria protegido, na qual estão inseridos o *host* atacante (endereços 172.16.0.X); (ii) uma rede

⁴DARPA (1998), UNSW-NB15 (2015), NDSec-1 (2016), NGIDS-DS (2016), [Viegas et al. 2017]

interna, com o *host* vítima (endereços 10.10.10.X); (iii) um *host* coletor operando como roteador, com a placa de rede configurada no modo promíscuo, para captura de todo o tráfego (*router0*); e (iv) um segundo *host* com regras de roteamento (*router1*), separando as duas redes. As ferramentas de *scan* foram utilizadas numa máquina virtual (VM) com o sistema operacional Kali Linux (*attacker* - 172.16.0.2). Como os pacotes capturados são de um ambiente controlado, o arquivo *pcap* gerado corresponde aos dados a serem rotulados como *scan*.

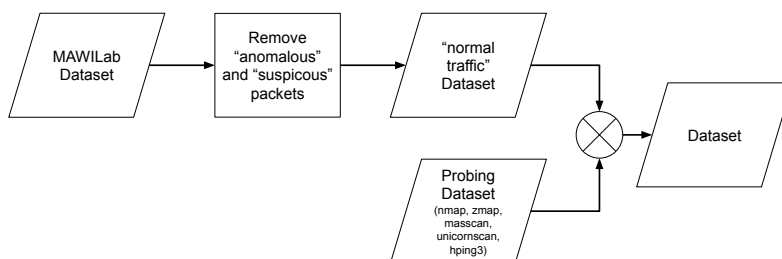


Figura 2. Fluxo de criação do conjunto de dados (*dataset*).

Para a obtenção dos pacotes com rótulo normal foi utilizado o conjunto de dados disponibilizado pelo MAWILab [Fontugne et al. 2010], que consiste em uma grande quantidade de pacotes obtidos em um link de comunicação trans-pacífico entre o Japão e os EUA. Estes pacotes são disponibilizados já com regras para classificá-los em suspeito, anômalo ou normal, a partir destas regras foram extraídos somente os pacotes considerados normais para compor o conjunto de dados utilizado neste trabalho⁵, o processo de composição do *dataset* gerado é ilustrado na Figura 2.

3.2. Parâmetros para geração dos dados

A Tabela 1 lista todos os casos considerados para a geração dos pacotes de TCP *scan*: as ferramentas utilizadas; as técnicas de TCP *scan*; a sintaxe de uso da ferramenta; e o total de pacotes gerados por cada técnica/ferramenta. Referente aos dados normais e uso do MAWILab, a partir do arquivo *pcap* original, removemos os pacotes considerados anômalos ou suspeitos utilizando as regras disponibilizadas com o *dataset*; em seguida é feita uma amostragem aleatória sem reposição de 75.000 pacotes; o conjunto de dados com rótulo “normal” foi composto pelos pacotes amostrados e colocados em um único arquivo *pcap* com 2.141.635 pacotes; depois extrai-se apenas os pacotes TCP/IP IPv4 deste *pcap* gerado, resultando em 103.094 pacotes. Os atributos contemplados no *dataset* são os campos de cabeçalhos dos protocolos TCP/IP, o *dataset* utilizado neste trabalho é composto de 103.094 pacotes rotulados como “normal” e 22.373 rotulados como *scan*, todo o aparato para reprodução dessa metodologia e o próprio *dataset* está disponível como um repositório na plataforma Github⁶.

3.3. Algoritmo de classificação: árvore de decisão

Para responder a questão *Q1: identificação de atividades de scan por meio de uma abordagem stateless*, os pacotes são analisados isoladamente, sem levar em conta o contexto

⁵Dados de 21/Nov/2019 disponível em fukuda-lab.org/mawilab/v1.1/2019/11/21/20191121.html

⁶Repositório Github: github.com/gubertoli/ProbingDataset

Tabela 1. Comandos dos ataques executados.

Ferramenta	Método	Comando	# pacotes
nmap	TCP SYN	nmap -sS	1001
nmap	TCP Connect	nmap -sT	1002
nmap	TCP NULL	nmap -sN	1001
nmap	TCP XMAS	nmap -sX	1001
nmap	TCP FIN	nmap -sF	1001
nmap	TCP ACK	nmap -sA	1000
nmap	TCP Window	nmap -sW	1000
nmap	TCP Maimon	nmap -sM	1000
unicornsca	TCP SYN	unicornsca -Iv -mT	1017
unicornsca	TCP Connect	unicornsca -Iv -msf	1026
unicornsca	TCP NULL	unicornsca -Iv -mTs	1014
unicornsca	TCP XMAS	unicornsca -Iv -mTsFPU	1014
unicornsca	TCP FULL XMAS	unicornsca -Iv -mTFSRPAU	1014
unicornsca	TCP FIN	unicornsca -Iv -mTsF	1014
unicornsca	TCP ACK	unicornsca -Iv -mTsA	1014
hping3	TCP SYN	hping3 -c 1000 -V -p ++20 -S	1001
hping3	TCP NULL	hping3 -c 1000 -V -p ++20 -Y	1000
hping3	TCP XMAS	hping3 -c 1000 -V -p ++20 -UPF	1000
hping3	TCP FIN	hping3 -c 1000 -V -p ++20 -F	1000
hping3	TCP ACK	hping3 -c 1000 -V -p ++20 -A	1000
zmap	TCP SYN	zmap -B 1M -p 0,22,80,443 -n 256 --probes=250	1250
massca	TCP SYN	massca -p0-500 10.10.10.10/24	1003

da comunicação em que estão trafegando, esta escolha reduz as opções dos atributos que serão analisados no processo de aprendizado, restringindo-se apenas aos atributos baseado em cabeçalho. Como a abordagem adotada visa obter uma regra de classificação determinística a partir do modelo treinado ($Q2$), escolheu-se o algoritmo árvore de decisão porque ele permite a interpretação direta do modelo (determinar atributos importantes); e a implementação do algoritmo de inferência com complexidade $\mathcal{O}(1)$. O desenvolvimento do trabalho usou a linguagem Python 3.7.3 e o pacote `scikit-learn` versão 0.23.1⁷ para executar o treinamento e a extração da árvore de inferência, no pacote `scikit-learn` o algoritmo para Árvore de Decisão é o Classification and Regression Tree (CART).

3.4. Treinamento e obtenção do modelo

A partir do conjunto de dados criado, o primeiro passo no processo de aprendizado de máquina é usar algum conhecimento de domínio e pré-processamento para reduzir o número de atributos aplicáveis. Assim, desconsidera-se todos os parâmetros de enlace (camada 2); os campos de endereço IP de origem e destino, o de origem pode ser reconfigurado por um atacante pela técnica de *spoofing* e o de destino não permite a generalização do aprendizado; os atributos invariáveis na comunicação TCP/IP, `ip.version` e `ip.proto`; e desconsiderados também `ip.checksum`, `ip.ttl`, `tcp.checksum`, `tcp.dstport`, `tcp.srcport`, `ip.ttl`, `tcp.seq` e `tcp.ack_seq`. Os valores de *checksum* acabam sendo valores descritivos/qualitativos dos campos de cabeçalho e portanto não auxiliam o aprendizado, já a remoção das portas (origem e destino) busca eliminar qualquer imposição do *setup* utilizado para obtenção dos dados, serviços alvos do *scan*; e para a porta de origem, caso o ambiente de aplicação inclua um serviço NAT, esse atributo limitaria a aplicação. Outra característica é o comportamento do campo TTL

⁷scikit-learn: scikit-learn.org

(*time to live*) do cabeçalho IP, as rodadas iniciais de aprendizado mostraram uma grande relevância para este atributo na tarefa de classificação dos pacotes, onde a condição na árvore de decisão comparava o TTL ao valor 62. Esse valor relaciona-se diretamente com a arquitetura da Figura 1, visto que no caminho entre a máquina atacante e a vítima, passamos por dois roteadores, sendo que as ferramentas de *scan*, por padrão, definem o valor de TTL como 64, exceto no caso do *Zmap* em que verificamos o valor 255 (máximo possível do campo TTL), assim para fins de generalização do problema, eliminou-se esse campo. Finalmente, os campos relacionados a sequência foram removidos por serem definidos de forma aleatória. Foram removidos também todos aqueles atributos com variância igual a zero, pois não contribuem para a tarefa de aprendizado, são eles: `ip.hdr_len`, `ip.tos`, `ip.flags.rb`, `ip.flags.mf` e `ip.frag_offset`, considerando os atributos restantes, nenhum registro duplicado está presente no conjunto de dados.

Na criação da árvore de decisão utilizou-se uma busca em um conjunto de parâmetros possíveis (*grid search*), sendo para o critério de *split*, avaliados tanto Gini quanto Entropia, para a profundidade da árvore um limite máximo de 20 e por se tratar de um *dataset* desbalanceado, considerou-se nessa busca com e sem peso da distribuição das classes, isto é, penaliza os erros nos exemplos da classe minoritária (*scan*). É importante destacar a inviabilidade de considerar apenas acurácia como métrica de desempenho neste problema de classificação. Para medir o desempenho do classificador utilizou-se as métricas precisão (*precision*), que representa uma medida de exatidão do modelo; sensibilidade ou revocação (*recall*), que representa uma medida de completude; e a medida-F1 (*f1-score*), que representa a média harmônica ponderada entre precisão e revocação. Essas métricas empregam valores extraídos da matriz de confusão do classificador, em que se extraem os valores de Verdadeiro-Positivos (VP), Falso-Positivos (FP) e Falso-Negativos (FN):

$$\text{Precisão} = \frac{VP}{VP + FP} \quad \text{Revocação} = \frac{VP}{VP + FN}$$

$$\text{medida-F1} = 2 \times \frac{\text{Revocação} \times \text{Precisão}}{\text{Revocação} + \text{Precisão}}$$

O processo de validação das múltiplas árvores de decisão foi realizado com uma validação cruzada estratificada utilizando-se 10 partições. A opção por estratificação busca manter a proporcionalidade das classes no conjunto de dados de treinamento e validação. O resultado do *grid-search* é ilustrado pela Figura 4, em que fica claro o melhor desempenho da árvore com o aumento da profundidade até uma profundidade de 11. Como o objetivo é de implementação em dispositivos de baixo poder computacional ou mínimo *overhead*, o *trade-off* que surge é a possibilidade de trabalhar com um modelo com menor desempenho (*f1-score*) para que o modelo de inferência extraído seja mais simples resultando na escolha de uma árvore de decisão de menor profundidade.

No caso da árvores de decisão é importante atentar também para que o modelo não esteja superajustado aos dados (*overfitting*) o que dificulta uma generalização do aprendizado, assim uma profundidade menor trata também este problema. Optou-se por uma árvore de decisão com critério de divisão Gini, limitada a uma profundidade máxima de 11 e usando o balanceamento de classes, o que resultou em um modelo com desempenho *f1-score* de 0,96 em nosso conjunto de dados. A partir do modelo treinado é possível extrair a importância dos atributos para a tarefa de classificação, essa importância é definida

pelo critério de impureza e no caso das árvores de decisão, se trata de uma abordagem embutida para avaliação de importância, pois a seleção dos atributos é integrada ao próprio processo de aprendizado [Faceli et al. 2011]. Os atributos, em ordem de importância, são ilustrados na Figura 3 e detalhado na Tabela 2.

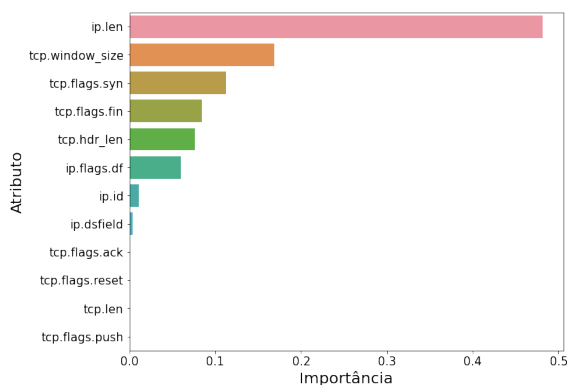


Figura 3. Importância dos Atributos.

Tabela 2. Descrição dos Atributos.

Atributo	Descrição
ip.len	Comprimento total do cabeçalho IP+TCP
tcp.window_size	Tamanho de janela do protocolo TCP
tcp.flags.syn	Flag SYN do protocolo TCP
tcp.flags.fin	Flag FIN do protocolo TCP
tcp.hdr_len	Comprimento total do cabeçalho TCP (<i>data offset</i>)
ip.flags.df	Flag <i>don't fragment</i> do protocolo IP
ip.id	Campo ID do protocolo IP
ip.dsfield	Campo de serviços diferenciados do IP (<i>TOS</i>)
tcp.flags.ack	Flag ACK do protocolo TCP
tcp.flags.reset	Flag RESET (RST) do protocolo TCP
tcp.len	Payload do TCP em bytes (<i>segment length</i>)
tcp.flags.push	Flag PUSH (PSH) do protocolo TCP

Destaca-se a noção intuitiva que o modelo de árvore de decisão produz a partir dos dados. Isto permite uma tradução natural em instruções imperativas do tipo *if-then-else* as quais são possíveis aplicar à detecção de ataques de TCP *scan*. Outro ponto a se destacar foram os critérios aprendidos pela árvore, a partir do nó raiz nota-se que todos os pacotes com comprimento maior que 64 bytes são considerados legítimos, o que é correto uma vez que os ataques de *scan* são pacotes sem dados e portanto menor que 64 bytes; outro critério são as regras relacionadas à *window size* e o valor de limiar 1024 que é uma característica padrão da ferramenta Nmap; e os altos valores para *ip.id* que são características da ferramenta Zmap.

4. Implementação e Avaliação

Esta seção apresenta a implementação e avaliação do método proposto a fim de demonstrar a sua efetividade em ambiente embarcado. O desempenho do método foi avaliado segundo os critérios de identificação dos pacotes TCP *scan* de forma *stateless* – Tabela 1 –, e avaliado características operacionais, isto é, quanto de *overhead* é gerado pela implementação no dispositivo de teste. A implementação do filtro de pacotes foi realizada com *netfilter*⁸, sistema operacional Linux e executada em um dispositivo Raspberry Pi 3, a avaliação de desempenho foi feita com a ferramenta *sar* do pacote *sysstat*⁹. Na execução do método, os pacotes de TCP *scan* são filtrados em *kernel space* através de Módulos Carregáveis no Kernel (*Linux Kernel Module* — LKM), o módulo implementa uma função que é invocada (*hook*) pelo *netfilter* a cada pacote que chega (*ingress*) na interface *wireless* do dispositivo, essa função é o código gerado a partir da árvore de decisão treinada que processa cada pacote recebido. A Listagem 1 apresenta um trecho do código da árvore de decisão em que os atributos de cabeçalho TCP/IP são obtidos para a efetiva classificação *stateless* dos pacotes. Para verificar a implementação completa que

⁸netfilter: <https://netfilter.org/>

⁹sysstat: <https://sebastien.godard.pagesperso-orange.fr>

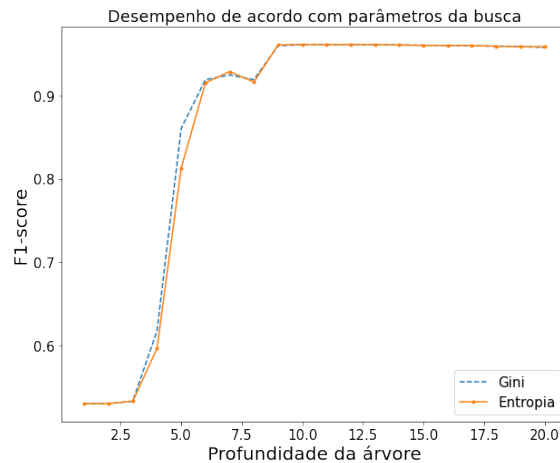


Figura 4. Desempenho para os diversos hiper-parâmetros.

pode ser carregada como módulo, consultar o arquivo `dt.c`¹⁰.

Os testes foram efetuados em um computador de placa única do modelo Raspberry Pi 3, e as especificações estão descritas na Tabela 3. Foi utilizado um enlace de comunicação misto, cabeado e *wireless*, para os testes e ataques contra a Raspberry Pi 3. A Raspberry Pi foi configurada com os serviços de comando remoto (*Secure Shell* - porta 22) e desktop remoto (VNC - porta 5900), a partir desta configuração reproduziu-se novamente todos os ataques listados na Tabela 1, em duas configurações, com e sem o módulo de *kernel* responsável pela filtragem de *TCP scan* carregado. A Figura 5 ilustra o ambiente físico no qual os testes aqui descritos foram realizados, com um computador atacante conectado através de um enlace cabeado até o roteador que por sua vez, conecta-se ao dispositivo de teste através de um enlace *wireless*.

Listing 1. Trecho da árvore de decisão treinada.

```

1 int check_packet(struct sk_buff *skb [...]) {
2     struct iphdr *iph = ip_hdr(skb);
3     struct tcphdr *tcph = tcp_hdr(skb);
4     ...
5     if (iph->tos < htons(4)) {
6         if ((tcph->doff*4) < htons(22)) {
7             return NF_DROP;
8         } else {
9             return NF_ACCEPT;
10        }
11    } else {
12        return NF_ACCEPT;
13    }
14    ...
15    return NF_ACCEPT;
16 }

```

Como esperado, na condição sem o módulo todos os ataques foram efetivos, isto é, os serviços disponíveis no dispositivo foram identificados como ativos. Já no caso com o módulo carregado, a filtragem foi efetiva ao evitar a identificação dos serviços disponíveis. No entanto, observou-se também que o modelo não conseguiu identificar todos os ataques, não sendo efetivo para os seguintes: SYN Scan via Nmap, Hping3 e Unicornscan; TCP Connect via Nmap e Unicornscan; Null Scan do Nmap e ACK Scan com Hping3, considerando os 22 ataques sob análise (Tabela 1) o modelo foi

¹⁰<https://github.com/gubertoli/ProbingDataset/blob/master/sbseg2020/Implementao\%20LKM/dt.c>

Tabela 3. Especificação da Raspberry PI 3 Model B Rev 1.2.

Componente	Descrição
CPU	Quad core Cortex-A53 SoC @ 1.2 GHz
RAM	1 GB SDRAM
Conectividade wireless	2.4 GHz e 5.0 GHz IEEE 802.11n
NIC wired	10/100 MBit/s Ethernet
Linux Kernel	4.19.118-v7+ (armv7l)
Distribuição	Raspbian GNU/Linux 10 (buster)

efetivo em 68% dos casos (acurácia).

Para a poda (*prunning*) da árvore de decisão, além das vantagens de redução de processamento e do *overfitting* já mencionadas, buscou-se avaliar seu impacto no ambiente de implementação. Assim, gerou-se também um modelo de árvore de decisão com profundidade máxima de seis, sendo que após a implementação no ambiente de teste observou-se um aumento nos casos detectados de 68% para 82%, sendo que os quatro casos não detectados foram os ataques de SYN Scan com Nmap, Zmap e Unicornscan e o de TCP Connect com Nmap e Unicornscan. Em comparação com a importância dos atributos para a árvore de profundidade 11 (Figura 3), neste caso houve uma inversão entre o valor de *window size* e a *flag* SYN do cabeçalho TCP e desconsiderou-se a importância das *flags* ACK, RESET e PUSH. Essa mudança entre as árvores quando avaliada de forma isolada como um problema de análise de dados apresenta uma redução do *f1-score* de 0,96 para 0,92, assim ela reforça a necessidade da avaliação fim-a-fim da aplicação de aprendizado de máquina nos problemas de IDS.

Para o problema de TCP *scan* destaca-se a importância de priorizar a composição do *dataset* com pacotes SYN de comunicação TCP/IP, pois são aqueles com maiores dificuldades de detecção e são os que compõe a maioria dos ataques não identificados – SYN Scan e TCP Connect (início do *three-way handshake*). Neste trabalho não exercitou-se a criação de atributos derivados (*feature engineering*) que ao custo de um aumento de processamento pode ajudar na identificação das ferramentas utilizadas nos ataques, conforme indica [Ghiëtto et al. 2016]. Outro ponto é realizar a avaliação da implementação em ambientes diferentes do apresentada na Figura 5.

A abordagem proposta utilizando-se da árvore de decisão permitiu a extração de uma regra de filtragem de pacotes contra ataques de TCP *scan*:

simples: regra de filtragem baseada em 12 atributos do cabeçalho TCP/IP (Figura 3) permitindo que apenas os pacotes TCP sejam submetidos a verificação, sem manter estado (*stateless*);

auditável: por se tratar de uma árvore de decisão permite utilizar-se de técnicas de

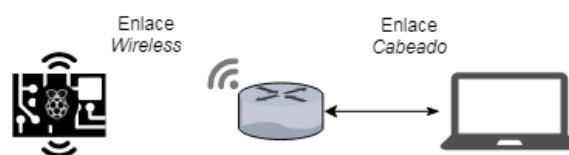


Figura 5. Ambiente de teste da prova de conceito.

Tabela 4. Comparação da execução com e sem o módulo que faz a identificação de pacotes de TCP scan (LKM). O overhead é mínimo.

n=1200	%memused		%sys	
	Sem LKM	Com LKM	Sem LKM	Com LKM
média	10,94 ± 0,07	11,35 ± 0,08	7,74 ± 3,12	7,78 ± 2,89
max	11,60	12,19	18,52	16,63
min	10,79	11,18	0,75	0,76

Legenda: %memused - mem. RAM utilizada; %sys - taxa de utilização de CPU em kernel mode.

visualização ou mesmo entender o algoritmo treinado (regras aprendidas);

agnóstica: buscou-se obter uma regra que não seja enviesada pela técnica ou ferramenta de scan utilizada, assim os atributos consideram ataques feitos com Nmap, Zmap, Unicornscan, Masscan e Hping3.

Uma questão importante na implementação é a quantidade de recursos adicionais exigido para a execução do módulo. Para obter uma estimativa dessa sobrecarga (*overhead*) realizou-se também um experimento em que foi monitorado a taxa de utilização da CPU em modo kernel (%sys), a quantidade de memória RAM consumida (%memused) e se a implementação afeta o processamento dos pacotes de redes avaliando se causa a perda de pacotes (*rxdrop/s*). O sistema sob teste é o mesmo Raspberry PI 3 em questão, foi utilizado o iPerf3¹¹ para gerar tráfego direcionado ao sistema. Essa verificação foi feita com as mesmas duas configurações: uma sem o módulo que faz identificação de pacotes TCP scan e outro com o módulo carregado. A execução em cada configuração durou 20 minutos, coletando-se 1 amostra por segundo, totalizando 1200 amostras. Os resultados estão sumarizados na Tabela 4. Os resultados permitem concluir que os custos computacionais são mínimos, confirmou-se também que para os dois cenários não houveram pacotes descartados, isto é, o filtro implementado não causa a exaustão do *buffer* de processamento do *kernel*. A regra avaliada possui espaço para otimização pois os ramos da árvore que classificam o pacote como "normal" foram mantidos para representar a árvore gerada em sua completude, entretanto, é possível a simplificação mantendo-se apenas os ramos que classificam os pacotes como *scan*.

Demonstra-se que a abordagem foi capaz de generalizar a detecção de ataques TCP scan, partindo de um conjunto de dados gerados em ambientes específicos, tráfego "normal" de um *link* trans-pacífico e tráfego "scan" gerado em rede local simulada, para um outro ambiente com comunicação *wireless*. Obteve-se inicialmente uma acurácia de 68% para os ataques considerados neste trabalho, em seguida, uma acurácia de 82% foi obtida a partir da redução do *f1-score* para 0,92, apresentando assim a diferença de desempenho para quando o problema é limitado na análise de dados e quando o problema é avaliado na abordagem fim-a-fim que considera o *deploy* do modelo e sua avaliação.

5. Conclusões e trabalhos futuros

Este trabalho apresentou o processo de caracterização de pacotes TCP/IP maliciosos que possuem a finalidade de reconhecer os serviços ativos de um host alvo (*scan*). Devido à escassez de *datasets* específicos para TCP scan disponíveis na literatura, foi construído

¹¹iPerf3: <https://iperf.fr/>

um novo conjunto de dados para treinar uma árvore de decisão de modo que os atributos mais importantes foram destacados. Evidenciou-se os cuidados a serem tomados para geração de um modelo sem viés e com bom desempenho obtendo-se um *f1-score* de 0,96 quando tratado como um problema de dados e uma acurácia de 82% para os cenários avaliados e quando implementado como um IDS na abordagem fim-a-fim. Ao trabalhar com árvore de decisão obteve-se uma regra imperativa do tipo `if-then-else` capaz de classificar pacotes individualmente (*stateless*) e de modo determinístico com a realização do modelo por meio da plataforma Raspberry Pi 3 como um módulo do kernel do Linux. Um ponto importante apresentado é a influência do ambiente de obtenção dos dados e a redução nos atributos aplicáveis quando se busca um modelo de aprendizado capaz de generalizar a nível TCP/IP, assim, surge a possibilidade de ampliar o trabalho para conjuntos de dados extraídos a partir das mais diversas arquiteturas e ambientes que utilizam TCP/IP. Esse ponto responde também ao desafio de transpor modelos de aprendizado de máquina para ambientes reais de produção e independente de arquitetura/ambiente. Como trabalhos futuros destaca-se a formalização do método utilizado neste trabalho como um arcabouço composto de cinco fases: geração dados maliciosos; obtenção e caracterização de tráfego legítimo; modelagem e produção de algoritmos de aprendizado de máquina; realização do modelo em uma plataforma-alvo; e avaliação de desempenho final.

Agradecimentos

Os autores agradecem à CAPES e ao ITA/PPG de Aplicações Operacionais pelo apoio financeiro.

Referências

- Angrishi, K. (2017). Turning Internet of Things(IoT) into Internet of Vulnerabilities (IoV): IoT Botnets. *CoRR*, abs/1702.03681.
- Bezerra, V. H., da Costa, V. G. T., Martins, R. A., Junior, S. B., Miani, R. S., and Zarpelão, B. B. (2018). Providing iot host-based datasets for intrusion detection research . In *Anais Principais do XVIII Simpósio Brasileiro em Segurança da Informação e de Sistemas Computacionais*, pages 15–28, Porto Alegre, RS, Brasil. SBC.
- Buczak, A. L. and Guven, E. (2016). A survey of data mining and machine learning methods for cyber security intrusion detection. *IEEE Communications Surveys Tutorials*, 18(2):1153–1176.
- Faceli, K., Lorena, A. C., Gama, J., Carvalho, A. C. P. d. L., et al. (2011). *Inteligência Artificial: Uma abordagem de aprendizado de máquina*. LTC.
- Fontugne, R., Borgnat, P., Abry, P., and Fukuda, K. (2010). Mawilab: Combining diverse anomaly detectors for automated anomaly labeling and performance benchmarking. In *Proceedings of the 6th International Conference, Co-NEXT '10*, pages 1–12. ACM.
- Ghiëtte, V., Blenn, N., and Doerr, C. (2016). Remote identification of port scan toolchains. In *2016 8th IFIP International Conference on New Technologies, Mobility and Security (NTMS)*, pages 1–5. IEEE.
- Glatz, E. and Dimitropoulos, X. (2012). Classifying internet one-way traffic. In *Proceedings of the 2012 Internet Measurement Conference, IMC'12*.

- Idzikowski, F., Chiaraviglio, L., Liu, W., and van de Beek, J. (2018). Future internet architectures and sustainability: An overview. In *2018 IEEE International Conference on Environmental Engineering (EE)*, pages 1–5.
- Jung, J., Paxson, V., Berger, A. W., and Balakrishnan, H. (2004). Fast portscan detection using sequential hypothesis testing. In *IEEE Symposium on Security and Privacy, 2004. Proceedings. 2004*, pages 211–225. IEEE.
- Lee, Y. and Lee, Y. (2012). Toward scalable internet traffic measurement and analysis with hadoop. *SIGCOMM Comput. Commun. Rev.*, 43(1):5–13.
- Lobato, A. G. P., Lopez, M. A., and Duarte, O. C. M. B. (2016). Um sistema acurado de detecção de ameaças em tempo real por processamento de fluxos. In *XXXIV Simpósio Brasileiro de Redes de Computadores e Sistemas Distribuídos (SBRC)*.
- Moon, D., Im, H., Kim, I., and Park, J. H. (2017). Dtb-ids: an intrusion detection system based on decision tree using behavior analysis for preventing apt attacks. *The Journal of supercomputing*, 73(7):2881–2895.
- Ring, M., Wunderlich, S., Scheuring, D., Landes, D., and Hotho, A. (2019). A survey of network-based intrusion detection data sets. *Computers & Security*, 86:147–167.
- Santos, A. L., Cervantes, C. A., Nogueira, M., and Kantarci, B. (2019). Clustering and reliability-driven mitigation of routing attacks in massive iot systems. *JISA*, 10(1):18.
- Sanz, I. J. and Lopez, M. A. (2018). Um sistema de detecção de ameaças distribuídas de rede baseado em aprendizagem por grafos. *Anais do Simpósio Brasileiro de Redes de Computadores e Sistemas Distribuídos (SBRC)*, 36.
- Sicari, S., Rizzardi, A., Grieco, L., and Coen-Porisini, A. (2015). Security, privacy and trust in internet of things: The road ahead. *Computer Networks*, 76.
- Torabi, S., Bou-Harb, E., Assi, C., Galluscio, M., Boukhtouta, A., and Debbabi, M. (2018). Inferring, characterizing, and investigating internet-scale malicious iot device activities: A network telescope perspective. In *2018 48th Annual IEEE/IFIP International Conference on Dependable Systems and Networks (DSN)*, pages 562–573.
- Viegas, E. K., Santin, A. O., and Oliveira, L. S. (2017). Toward a reliable anomaly-based intrusion detection in real-world environments. *Computer Networks*, 127:200–216.
- Wuu, L.-C., Hung, C.-H., and Chen, S.-F. (2007). Building intrusion pattern miner for snort network intrusion detection system. *Journal of Systems and Software*, 80(10):1699–1715.
- Yadav, T. and Rao, A. M. (2015). Technical aspects of cyber kill chain. In *International Symposium on Security in Computing and Communication*, pages 438–452. Springer.
- Yi, S., Li, C., and Li, Q. (2015). A survey of fog computing: concepts, applications and issues. In *Proceedings of the 2015 workshop on mobile big data*, pages 37–42.
- Zhao, Y. (2016). Network intrusion detection system model based on data mining. In *Software Engineering, Artificial Intelligence, Networking and Parallel/Distributed Computing (SNPD), 2016 17th IEEE/ACIS International Conference on*.